

Fig. 1

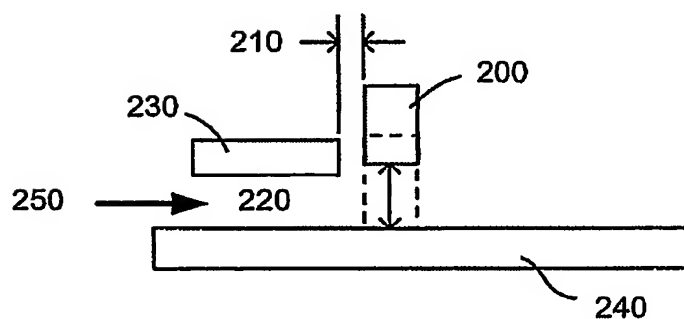


Fig. 2

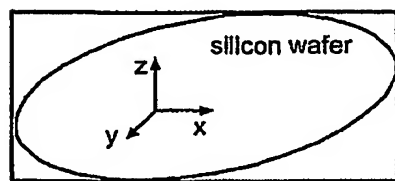


Fig. 3

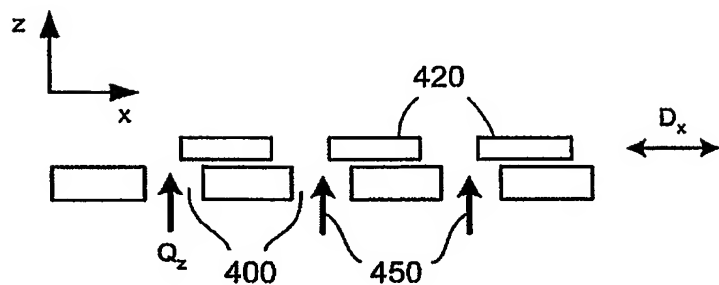


Fig. 4a

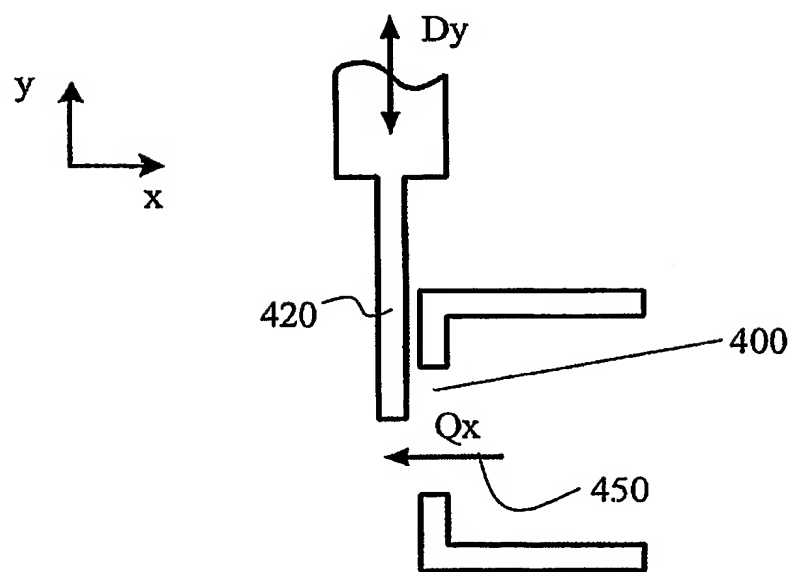


Fig. 4b

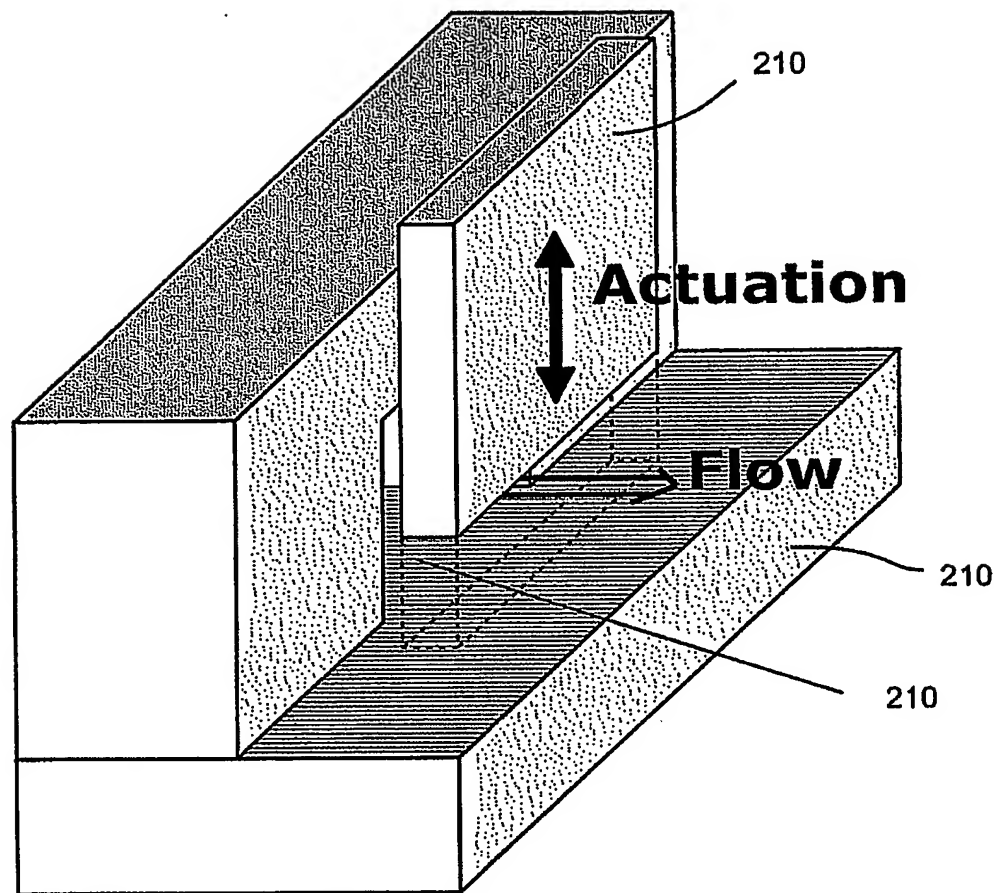


Fig. 4c

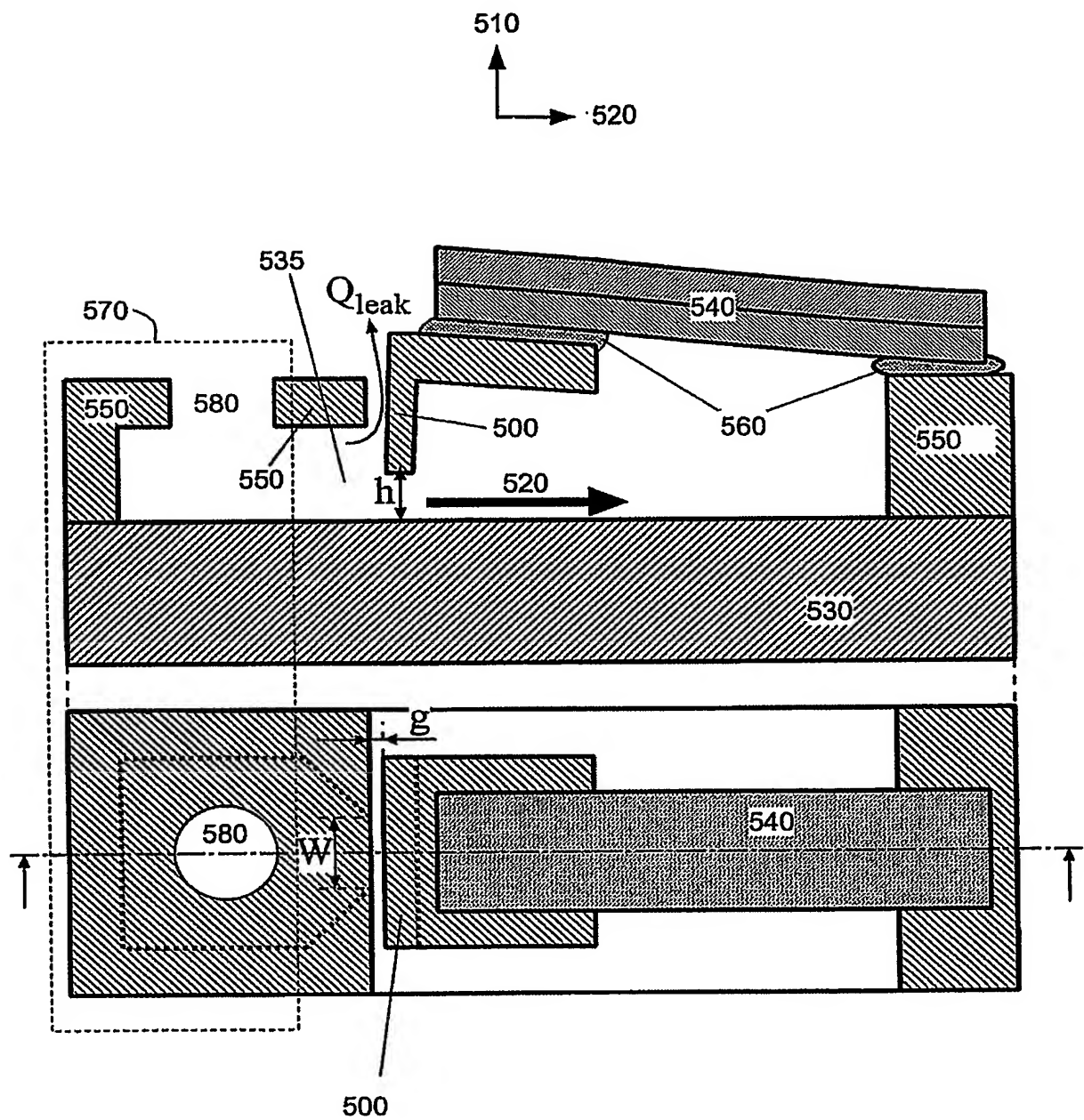


Fig. 5

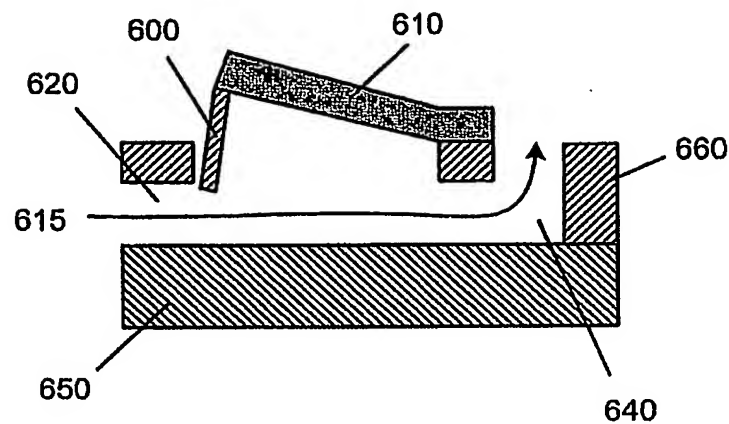


Fig. 6a

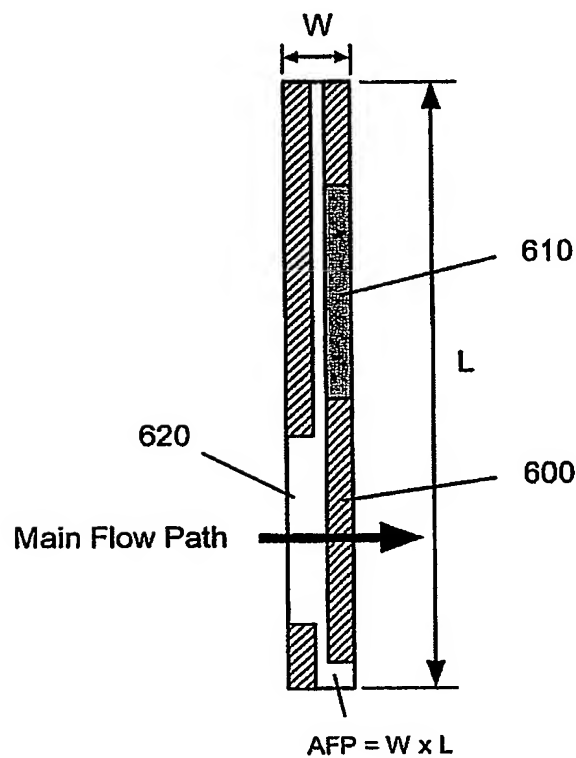


Fig. 6b

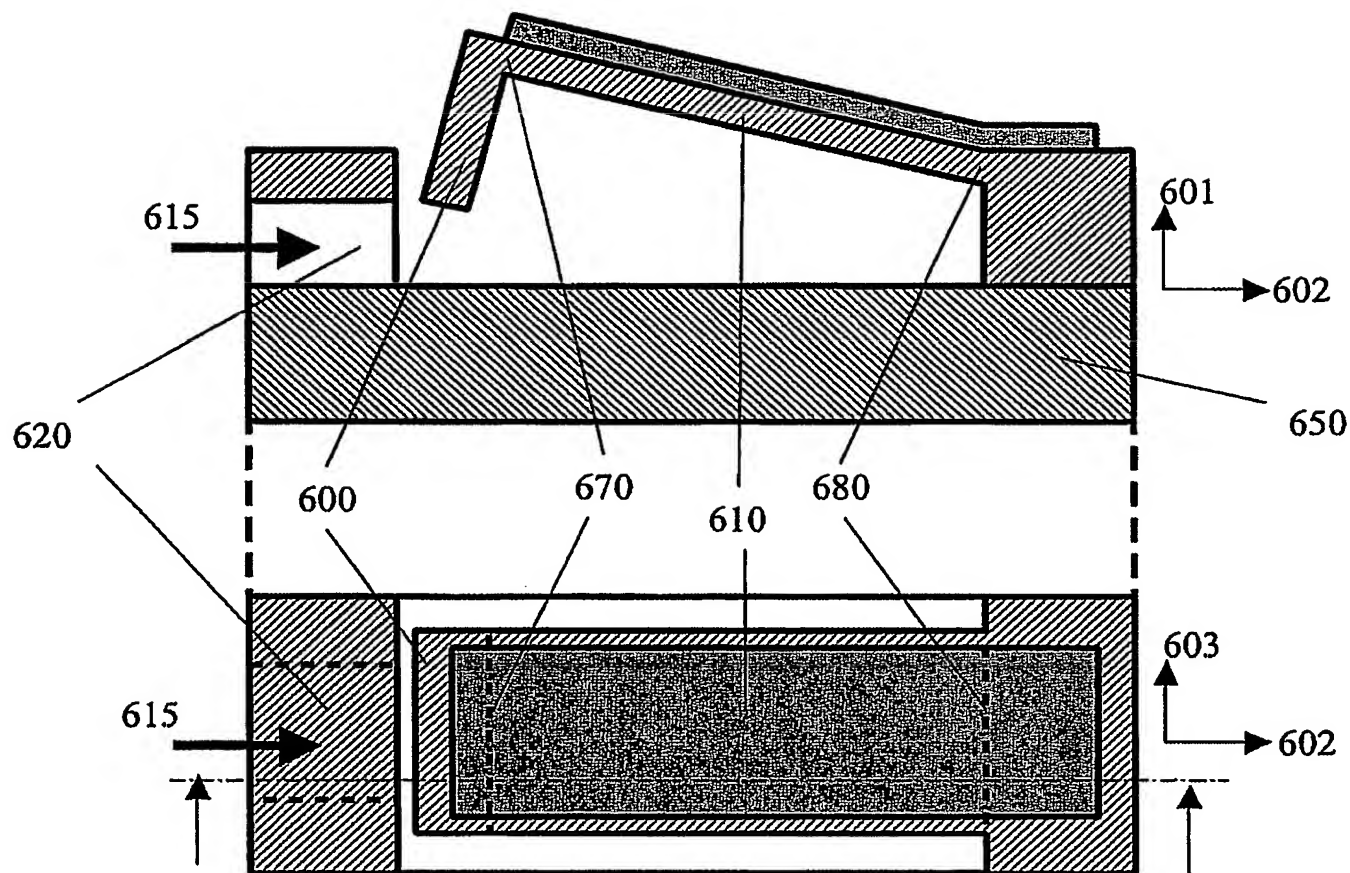
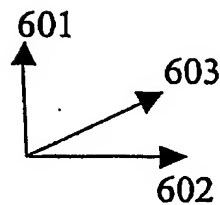


Fig. 6c

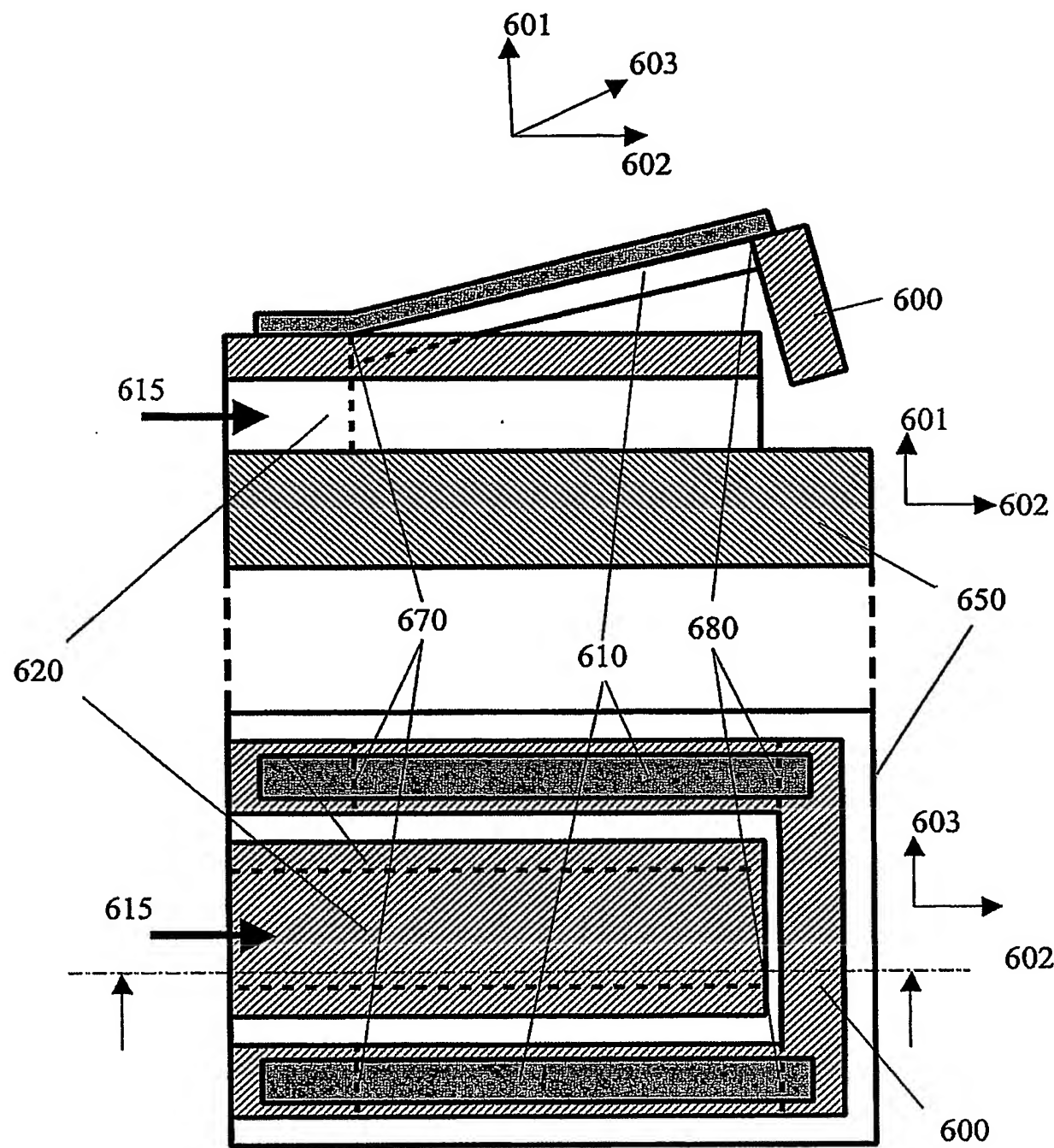


Fig. 6d

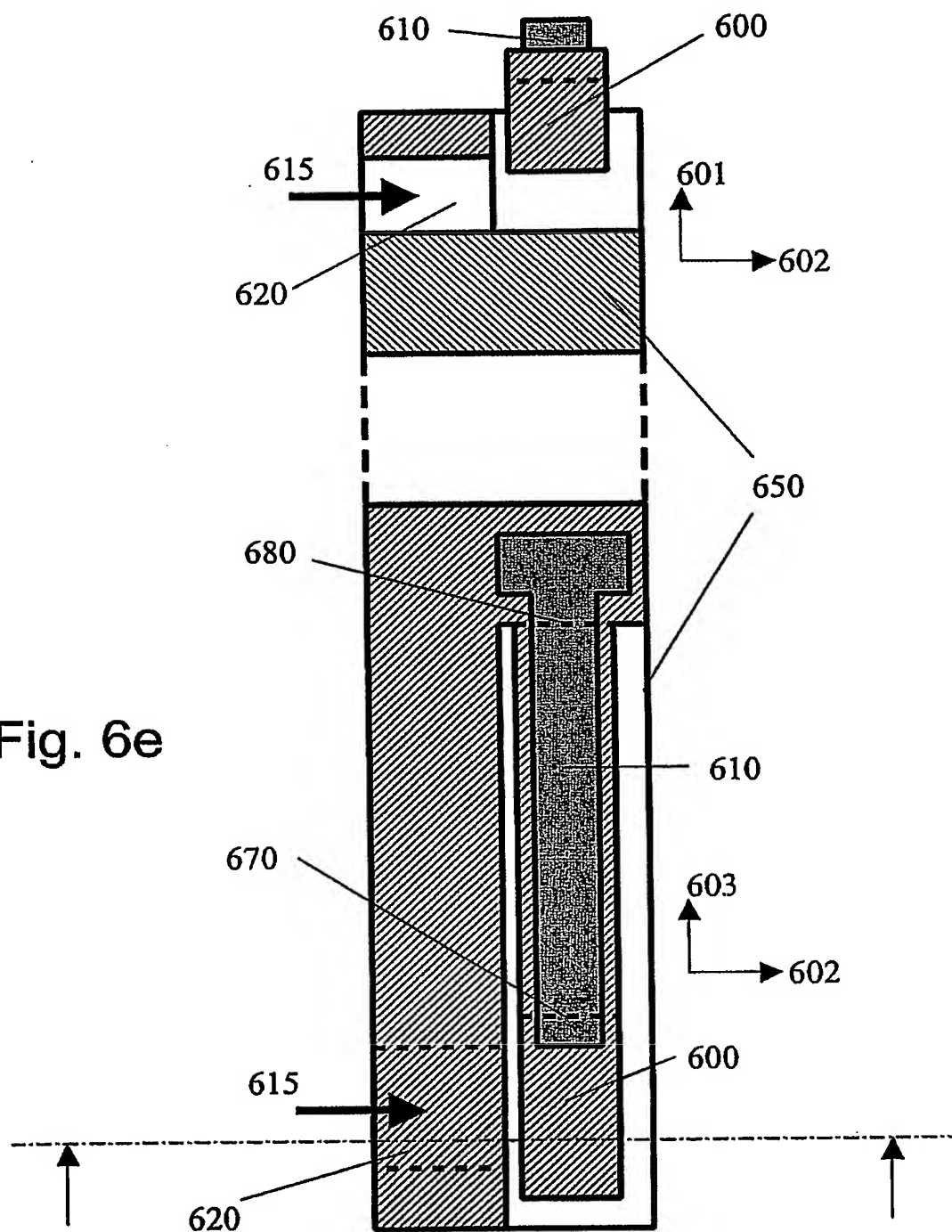
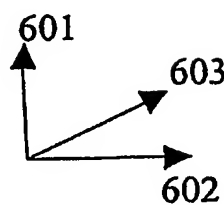


Fig. 6e

BEST AVAILABLE COPY

WO 2004/109163

PCT/IB2004/050854

9/13

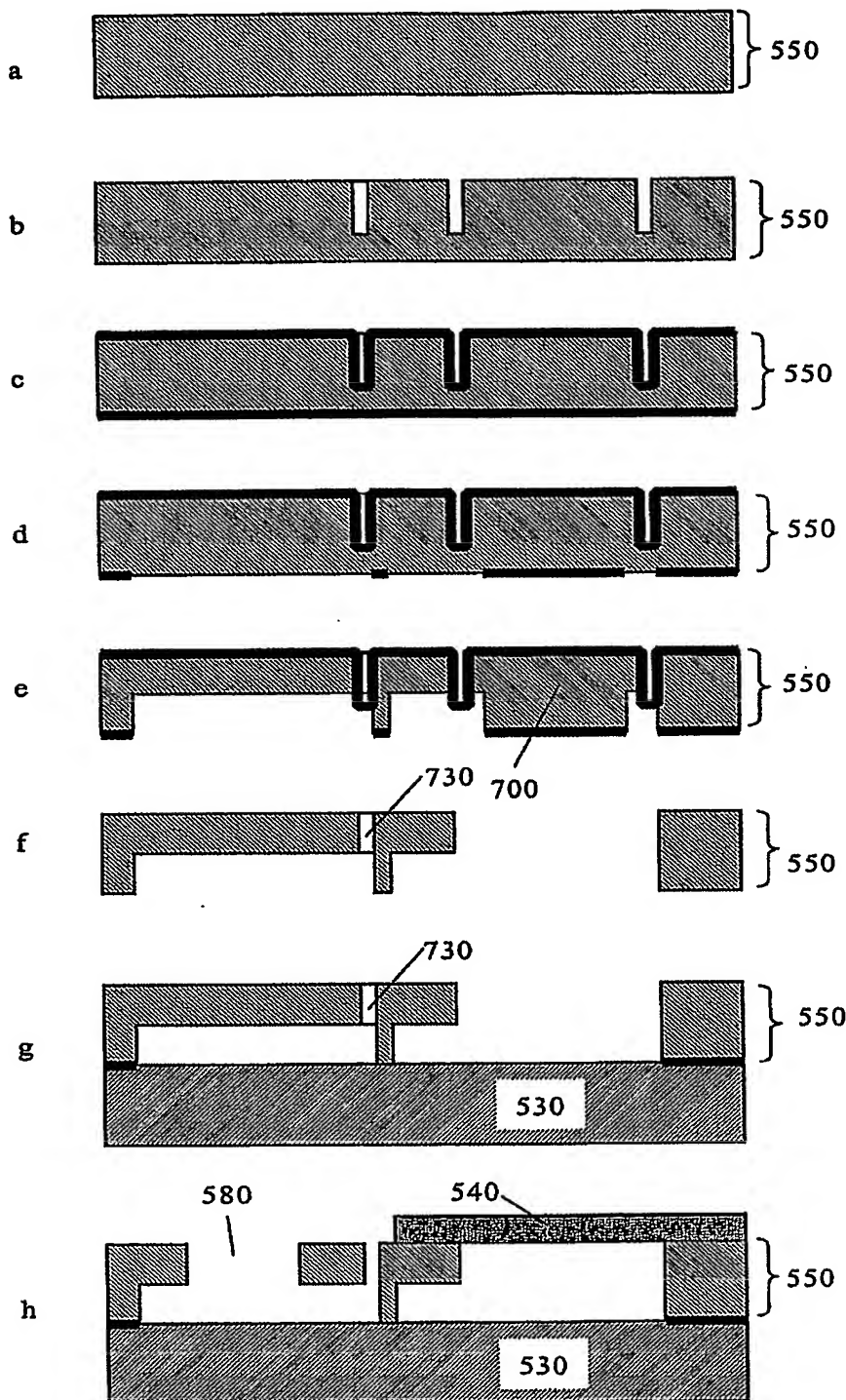


Fig. 7

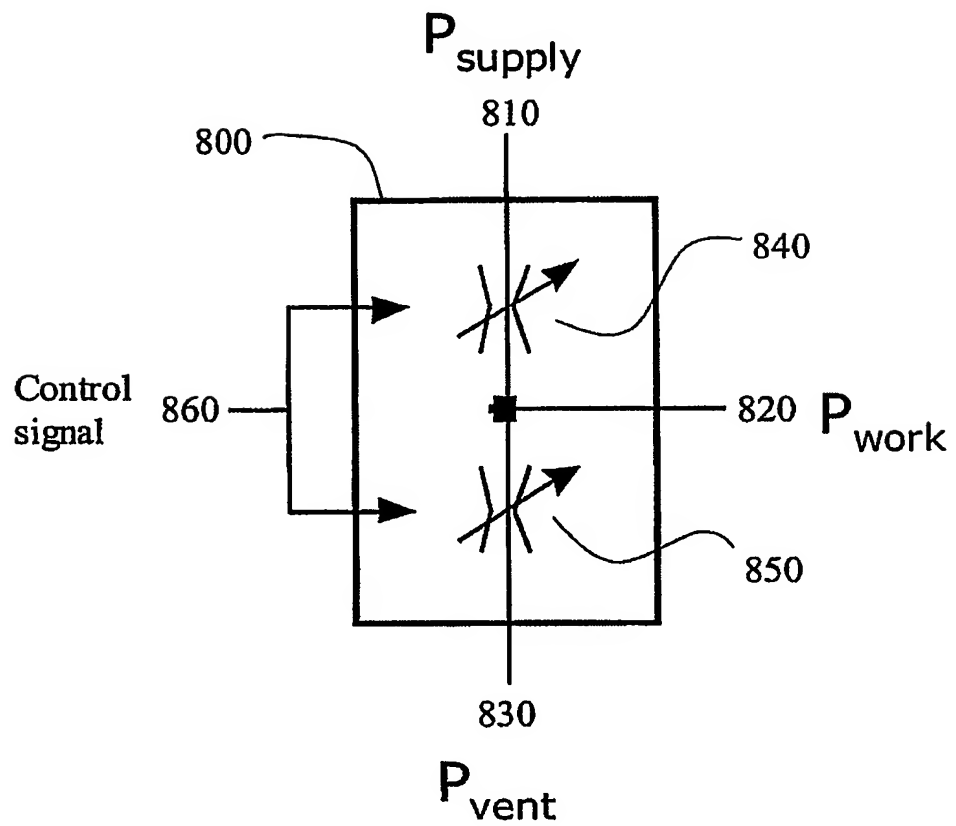


Fig. 8

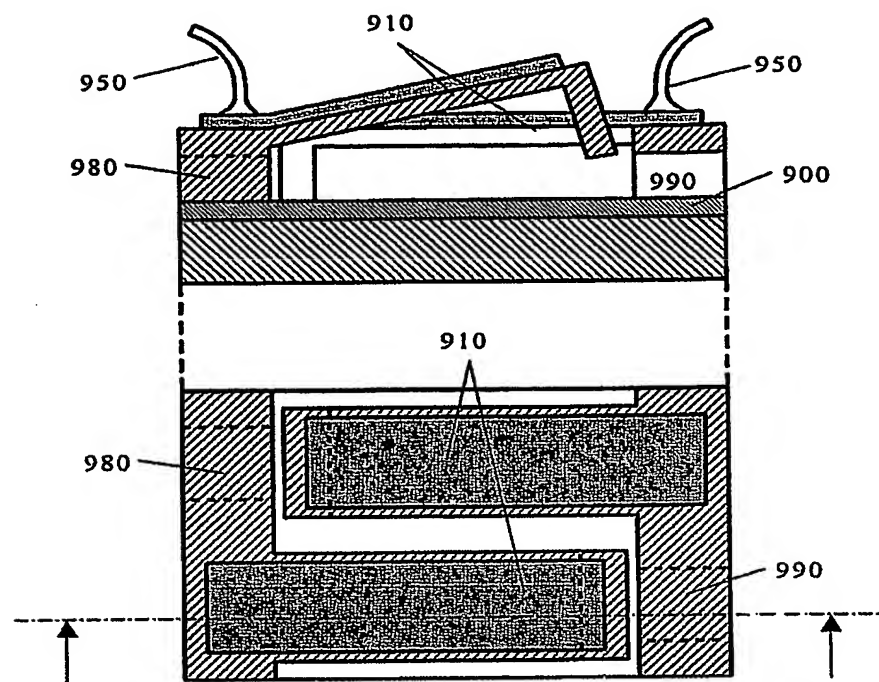


Fig. 9a

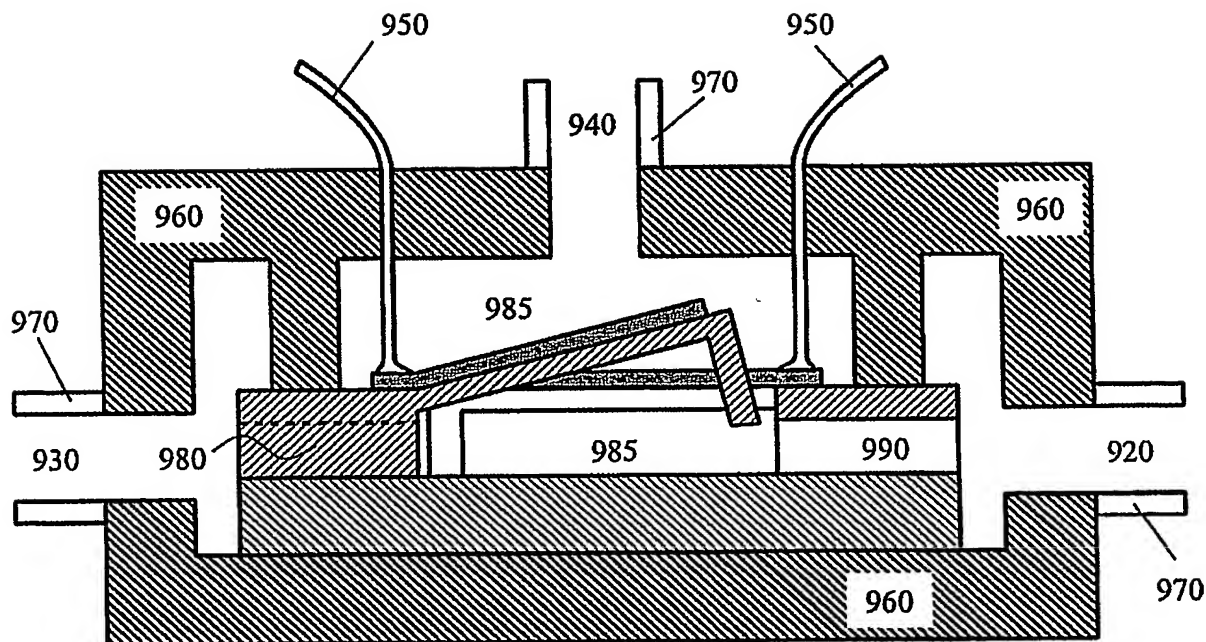


Fig. 9b

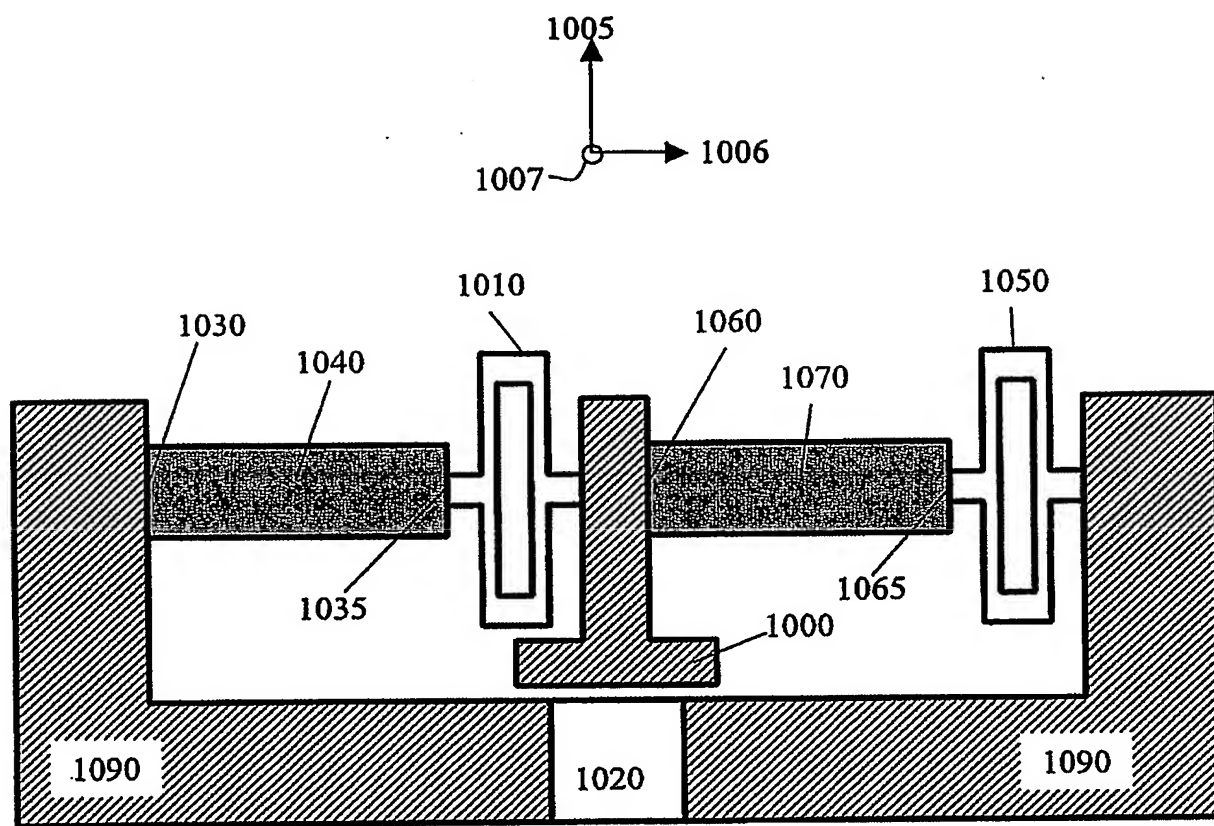


Fig. 10

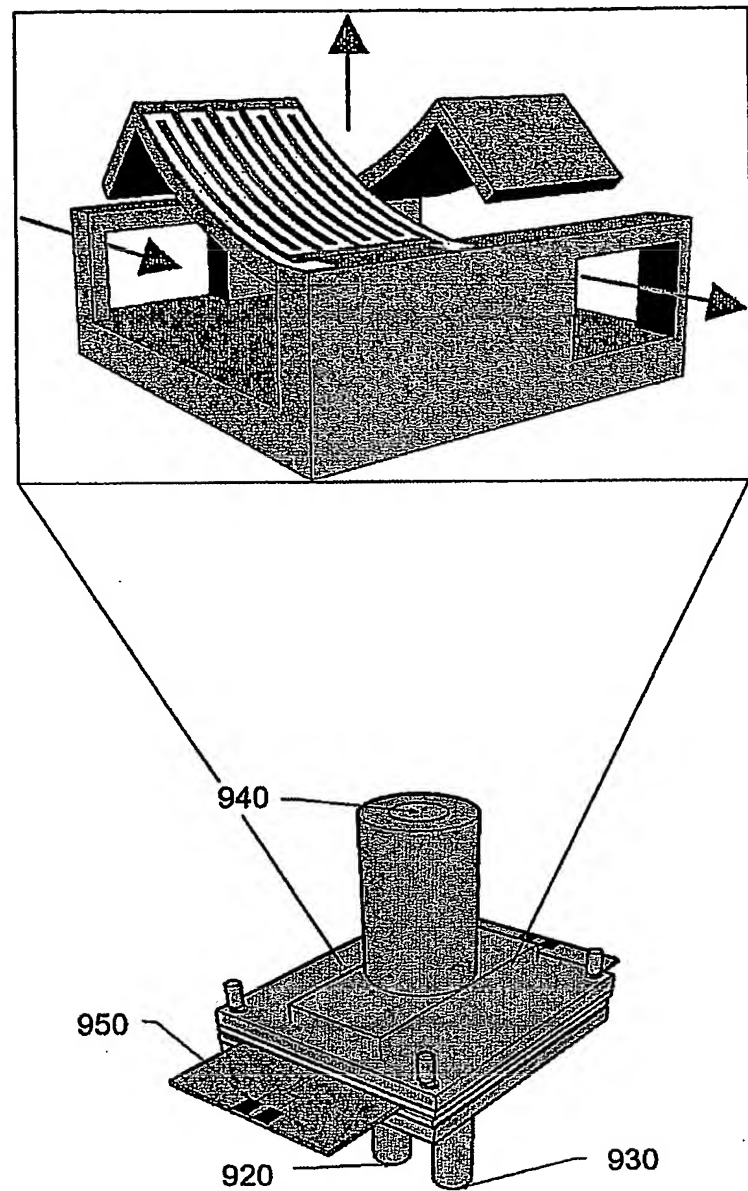


Fig. 11